

# طراحی یک شبکه‌ی عصبی فازی برای کنترل کیفیت فرایند‌های چندمتغیره - چند مرحله‌ی

سعید فقازی (کارشناس ارشد)

سیدنقی اخوان‌نیاکی (استاد)

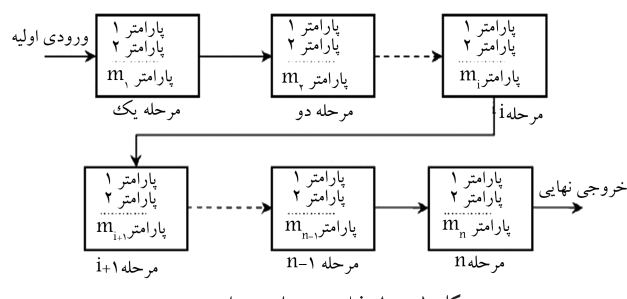
دانشکده‌ی مهندسی صنایع، دانشگاه صنعتی شریف

در زمینه‌ی کنترل آماری فرایند چندمتغیره، و به منظور کنترل یک مرحله از فرایند تولید، تحقیقات زیادی صورت گرفته است. هدف اصلی این تحقیقات، در نظرگرفتن همبستگی بین چندین مشخصه‌ی کیفی برای یک مرحله از فرایند است. اما در صنایع نظری صنایع شیمیایی با موارد زیادی مواجهیم که در آنها تولید شامل چند مرحله است. بنابراین، وجود روشی برای کنترل کیفیت فرایند چندمتغیره - چند مرحله‌ی ضرورت می‌یابد. در این نوشتار ایجاد روشی برای تشخیص بزرگی انتقال میانگین به وجود آمده در متغیرها در مسئله‌ی کنترل کیفیت فرایند چندمتغیره - چند مرحله‌ی چنان هدف گرفته شده است که علاوه بر در نظرگرفتن خاصیت آبشاری مرحله، همبستگی متغیرها را در هر یک از مرحله‌ی نیز در نظر بگیرد. روش پیشنهادی استفاده از یک شبکه‌ی عصبی خودآرایه<sup>(۱)</sup> (خودسازمانده) برای خوشه‌بندی<sup>(۲)</sup> دسته‌های مختلف انتقال است. این شبکه از قابلیت نمایش بصری روند حرکت فرایند نیز برخوردار است و برای تفسیر نهایی وضعیت انتقال متغیرها در فرایند، از یک سیستم استنتاج فازی استفاده شده است. در سنجه کارایی روش پیشنهادی،<sup>(۳)</sup> معیار: متوسط طول دنباله تحت کنترل، متوسط طول دنباله خارج از کنترل، و متوسط طول دنباله برای تشخیص دقیق طبقه، در نظر گرفته شده است. روش پیشنهادی از طریق یک مثال از فرایند چند مرحله‌ی خودهمبسته با ۲ متغیر و ۳ مرحله که توسط سری زمانی VAR(۱) شیوه‌سازی شده، ارزیابی شده است. ارزیابی ها نشان می‌دهد که روش پیشنهادی نسبت به تحقیقات قبلی انجام شده در این زمینه، خصوصاً در شناسایی انحرافات کوچک، کارایی بهتری دارد.

واژگان کلیدی: کنترل کیفیت چندمتغیره-چند مرحله‌ی، شبکه‌های عصبی خودآرایه، سیستم استنتاج فازی.

## ۱. مقدمه و بررسی ادبیات

در بسیاری از صنایع تولیدی کیفیت محصول معمولاً از طریق چند مشخصه‌ی کیفی به صورت همزمان بررسی می‌شود. تمرکز همزمان بر روی چند شاخص کیفی، به بروز مسائل کنترل کیفی فرایند‌های چندمتغیره می‌انجامد. موضوع اصلی در کنترل کیفیت چندمتغیره که این نوع مسائل را از کنترل کیفیت تکمتغیره جدا می‌کند همبستگی بین متغیرها است، بهگونه‌یی که کنترل‌های جداگانه‌ی هر متغیر و عدم توجه به این همبستگی‌ها عاقبت ناطلوبی به بار می‌آورد. تلاش برای استفاده از نمودارهای کنترلی در مسئله‌ی کنترل کیفیت چندمتغیره موجب پیدا شدن و بسط نمودارهای کنترلی چندمتغیره شده است. رویکرد چندمتغیره در کنترل کیفیت اولین بار در سال ۱۹۴۷ در مطالعه‌ی دقت بمباران یک سایت دشمن مورد بررسی قرار گرفت.<sup>(۱)</sup> در بررسی مذکور، هاتلینگ آماره  $T^*$  را به عنوان مبنای برای نمایش کیفیت کلی بمباران و توزیع آماری آن ارائه داد. در سال ۱۹۸۵ نیز نمودار جمع تجمعی<sup>(۲)</sup> یک متغیر را به مسائل چندمتغیره تمیم دادند.<sup>(۲)</sup> در سال ۱۹۹۲، نمودارهای میانگین متحرک



شکل ۱. مدل فرایند مرحله‌یی یا ترتیبی.

کارگرفته شده است، با این فرض که:

۱. در هر مرحله‌ی تولید چند مشخصه‌ی کیفی وجود دارد؛

۲. تعداد مشخصه‌های کیفی در همه‌ی مرحله‌ی ثابت و برابر  $p$  است؛

۳. مشخصات کیفی یک مرحله‌ی خاص همیست‌اند؛

۴. مرحله‌ی کیفی فرایند به هم واستگی از آن رواست که ورودی یک مرحله در حقیقت خروجی مرحله‌ی قبلی است و کیفیت مرحله‌ی جاری نمی‌تواند به کیفیت مرحله‌ی قبلی واستگی نباشد.

۵. تأثیر مرحله بر یکدیگر به‌گونه‌یی است که انحراف در یک مشخصه از مرحله‌ی جاری، می‌تواند بر مشخصات کیفی مرحله بعدی تأثیرگذار باشد، ولی بر مشخصات کیفی مرحله قبلی تأثیر نخواهد گذاشت. به عبارت ساده‌تر، هر مشخصه‌ی کیفی علاوه بر همبستگی با دیگر مشخصات کیفی در یک مرحله، با مشخصه‌ی کیفی نظریش در مرحله قبلی خوده مبتنی است. نتیجتاً کیفیت یک محصول در انتهای هر مرحله، نه فقط به آنچه که در مرحله‌ی جاری وجود دارد، بلکه به آنچه که در مرحله قبلی انجام می‌شود نیز واسته است. این خاصیت در فرایندهای چندمرحله‌یی به «خاصیت آبشراری» معروف است.

۶. فرض استقلال بین مشاهدات هر مرحله‌ی خاص برای هر یک از مشخصات کیفی برقرار است.

عمده‌ترین روش‌های به کار گرفته شده برای کنترب فرایندهای چندمرحله‌یی تک متغیره عبارت‌اند از: نمودار انتخاب علت<sup>۹</sup> (CSC) و نمودار کنترب مدل - مبنای که هر دو روش بر پایه‌ی رگرسیون عمل می‌کنند. چنانچه متغیر خروجی  $Y$  در مرحله‌ی جاری تابعی از  $m$  مشخصه‌های کیفی مرحله‌ی قبلى مانند  $x_1, x_2, \dots, x_m$  باشد، آنگاه نمودار انتخاب علت چندگانه<sup>۱۰</sup> (MCSC) به کار می‌رود.

صرف نظر از تک متغیره، چندمتغیره و یا چندمرحله‌یی بودن یک فرایند، ممکن است موارد غیرمعمول و غیرتصادفی در آنها رخ دهد. موارد غیرتصادفی ممکن است خود را به صورت‌های مختلف نشان دهند، مثلاً مقادیر پارامترهای فرایند با آماره‌های مربوطه در کنترب فرایند می‌توانند تغییر گنند. موارد غیرمعمول به صورت شرایط خروج از کنترب و / یا الگوهای سری زمانی غیرمعمول رخ می‌دهند. الگوهای سری زمانی در تشخیص الگوهای نمودار کنترب<sup>۱۱</sup> (CCP)، بیان‌گر انحرافات میانگین فرایند از مقادیر نرمال است. این مسئله تحت عنوان شناسایی الگو شناخته می‌شود.

شبکه‌های عصبی نیز از اواخر دهه‌ی ۸۰ میلادی در کنترب آماری فرایند به کار گرفته شده‌اند. یکی از دلایل اصلی به کار گیری شبکه‌های عصبی در کنترب فرایند، خودکار کردن تفسیر نمودارهای کنترب است. امروزه کاربرد شبکه‌های عصبی در نمودارهای کنترب بیشتر در نمودارهای تک متغیره مطرح است، ولی در برخورد با مسائل بزرگ‌تر و پیچیده‌تر (نظیر حالت‌های چندمتغیره یا چندمرحله‌یی)، که روش‌های

## ۲. شبکه‌های عصبی خودآراینده

از شبکه‌های عصبی می‌توان برای خوشبندی الگوها (شبکه‌های خودآراینده)،

نورون برنده با توجه به رابطه‌ی ۳ مشخص می‌شود:

$$c = \arg \min_t \{d(X, m_t)\} \quad (3)$$

که در آن  $c$  نشان‌دهنده‌ی نورون برنده و  $(X, m_t)$  فاصله‌ی اقلیدسی میان رکورد و بردار وزنی نورون  $t$  است که از رابطه‌ی ۴ به دست می‌آید:

$$d(\mathbf{x}, \mathbf{m}_t) = \|\mathbf{x} - \mathbf{m}_t\| \quad (4)$$

به هنگام کردن بردار وزنی متناظر با هر نورون با استفاده از رابطه‌ی ۵:

$$\mathbf{m}_i(t+1) = \mathbf{m}_i(t) + a(t)h_{ci}(t)[\mathbf{x}(t) - \mathbf{m}_i(t)] \quad (5)$$

که در آن  $1 < \alpha < \infty$  نزدیکی و  $h_{ci}(t)$  نمایان‌گر میران همسایگی نورون  $i$  و  $c$  (نورون برنده) هستند. میران همسایگی نورون برنده و نورون  $i$  از رابطه‌ی ۶ به دست می‌آید:

$$h_{ct} = e^{\frac{\|r_c - r_t\|}{\sigma^2(t)}} \quad (6)$$

که در آن  $\sigma$  کنترالیتی دامنه‌ی تابع است و به تدریج در طول فرایند نزدیکی را کاهش داده می‌شود. همچنین  $r_c, r_t$  به ترتیب موقعیت نورون‌های  $c$  و  $t$  (برندۀ) در نقشه‌ی شبکه است.

۴. بررسی شرط خاتمه‌ی الگوریتم؛ اگر این شرط برقرار نباشد، الگوریتم از قدم دوم ادامه می‌یابد.

از آنجاکه الگوریتم آموزش شبکه‌های خودآراینده بر فاصله‌ی اقلیدسی بنا شده است، باید داده‌های هر بعد فضای مورد بررسی را مستقلًا به متغیرهای تصادفی نرمال استاندارد تبدیل کرد.

### ۳. سیستم‌های فازی

تئوری فازی برای اولین بار توسط پروفسور زاده، استاد دانشگاه برکلی در سال ۱۹۶۵ میلادی مطرح شد. مجموعه‌های فازی، هسته‌ی اولیه‌ی نظریه‌ی فازی را تشکیل می‌دهند. یک مجموعه‌ی فازی، مجموعه‌یی از عناصر است که مرز مشخصی را نمی‌توان برای آن تعريف کرد. در واقع هر عنصر از این مجموعه ممکن است تا حدودی به این مجموعه‌ی فازی تعلق داشته باشد یا نداشته باشد. قواعد فازی یا گزاره‌های شرطی فازی، گزاره‌هایی به صورت ( $\text{اگر } x \in A \text{، آنگاه } y = B$ ) هستند که در آنها  $B, A$  مجموعه‌ی فازی سنتند که با توابع عضویت مناسبی تعريف می‌شوند.<sup>[۲۸]</sup>

در ادبیات موضوع معمولاً از سه نوع سیستم فازی خالص، سیستم فازی تاکاگی - سوکنو و کانگ (TSK)، و سیستم‌های فازی‌ساز<sup>۱۵</sup> و فازی‌زدا<sup>۱۶</sup> (ممدانی) یاد می‌شود.

ساختر اصلی یک سیستم فازی خالص در شکل ۳ نشان داده شده است. موتور استنتاج فازی، قواعد ساخته شده را از یک نگاشت از مجموعه‌های فازی در فضای ورودی به مجموعه‌های فازی در فضای خروجی براساس اصول منطق فازی ترکیب می‌کند. هر سیستم استنتاج دارای بخش‌هایی مختلف، نظیر فازی‌ساز، موتور استنتاج فازی یا پایگاه دانش فازی<sup>۱۷</sup>، انباستگی خروجی‌ها<sup>۱۸</sup>، و غیر فازی‌ساز است.

دسته‌بندی الگوها (شبکه‌های عصبی احتمالی، پرسپترون، و پیش‌خور)، تخمین غیر خطی شبکه‌های پیش‌خور چندلایه<sup>۱۹</sup> (MLFF)، و بهینه‌یابی (شبکه‌های هابیلد و ماشین بولتزمن) استفاده کرد.<sup>[۲۰]</sup> شبکه‌های خودآراینده در سال ۱۹۸۴ معرفی، و برای تشخیص صدا و تبدیل آن به متن به طور عملی مورد استفاده قرار گرفت.<sup>[۲۱]</sup> اکنون شبکه‌های خودآراینده به طور گسترده‌ی در داده‌کاوی<sup>[۲۲]</sup>، نمایش فضاهای پیچیده<sup>[۲۳]</sup>، و خوشبندی فضاهای با ابعاد گسترده و به طور خاص در پردازش تصویری<sup>[۲۴]</sup>، آنالیزهای مالی<sup>[۲۵]</sup> و تشخیص‌های صنعتی و پژوهشی مورد استفاده قرار می‌گیرد. فهرست جامعی از کاربردهای مهندسی نقشه‌های خودآراینده توسط کوهن و همکاران<sup>[۲۶]</sup> ارائه شده است.

اساس فلسفه‌ی شبکه‌های خودآراینده، نگاشت فضاهای با تعداد ابعاد (مشخصه‌ی) بالا به فضایی دو یا سه بعدی است به‌گونه‌یی که کمترین اطلاعات از بین بود و اطلاعات نهفته در ارتباط میان داده‌ها نیز قابل کشف و نمایش باشد. این توانایی‌ها با نگاشت ارتباطات غیرخطی میان اطلاعات با استفاده از یک واسطه هندسی بر روی یک شبکه‌ی دو بعدی از نورون‌ها حاصل می‌شود. یک شبکه‌ی دو بعدی از نورون‌ها اصطلاحاً یک نقشه از نورون‌ها نامیده می‌شود. هر نقشه، متشکل از مجموعه‌یی از نورون‌هاست که به‌سویه‌ی نظم‌مند کنار هم چیده شده‌اند و ساختار شبکه را به‌گونه‌یی شکل داده‌اند که نورون‌های شبیه ترکیب‌یک‌دیگر قرار گیرند. هر نورون متناظر با یک بردار اطلاعات با تعداد عناصر برابر با تعداد ابعاد فضای اطلاعاتی مورد تحلیل است. به بیانی دیگر، هر نورون به مثابه نماینده‌ی یک قسمت از فضای اطلاعات است. این نماینده به‌گونه‌یی انتخاب می‌شود که به بهترین صورت معرف مشخصات اطلاعات بخش متناظر با خود باشد. شکل ۲ یک شبکه‌ی کوهن معقولی شامل یک لایه‌ی ورودی و یک لایه‌ی کوهن دو بعدی را نشان می‌دهد.<sup>[۲۷]</sup>

الگوریتم آموزش شبکه‌های خودآراینده شامل چهار مرحله است:

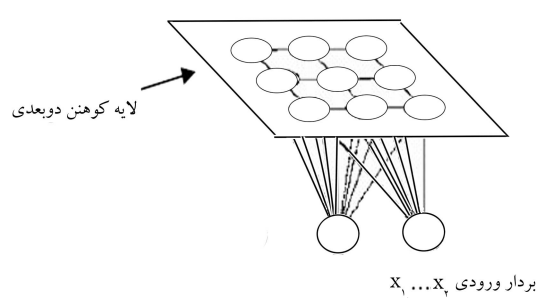
۱. انتخاب پارامترهای نقشه‌مانند ابعاد و بردار وزنی ابتدایی متناظر با هر نورون؛
۲. ارائه داده‌های مورد تحلیل به شبکه و یافتن بهترین نورون نظیر برای هر بردار داده و ورودی (رکوردها). رکوردها می‌توانند همزمان به شبکه ارائه شوند، یا به ترتیب هر بار رکورد به شبکه ارائه و عملیات آموزش شبکه انجام شود. هر رکورد مانند  $X$ ، متشکل از مقادیر کمی  $n$  مشخصه است که به صورت رابطه‌ی ۱ نمایش داده می‌شود:

$$\mathbf{x} = [x_1, x_2, \dots, x_n] \in \mathbb{R}^n \quad (1)$$

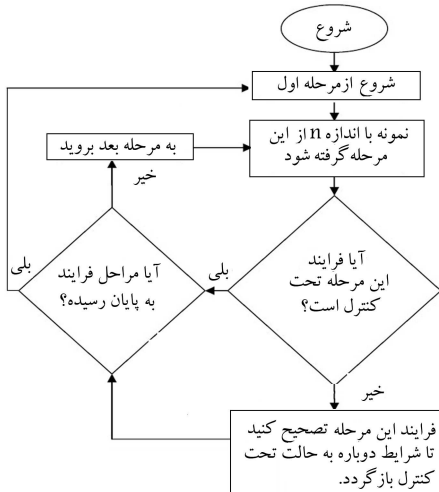
بردار وزنی نورون  $t$  ام به صورت رابطه‌ی ۲ تعریف می‌شود:

$$\mathbf{m}_t = [m_{t1}, m_{t2}, \dots, m_{tm}] \in \mathbb{R}^n \quad (2)$$

آنگاه متناظر با هر رکورد ورودی، بهترین واحد تطبیقی<sup>۱۴</sup> (BMU) یا اصطلاحاً



شکل ۲. ساختار شبکه‌ی کوهن.



شکل ۴. نمودار جریان فرایند کنترل ترتیبی.

مرحله‌ی اول با اندازه‌ی نمونه‌ی  $n$  آغاز می‌شود. در صورتی که نمونه‌ی گرفته شده از مرحله‌ی اول نشان‌گر تحت کنترل بودن فرایند باشد، به نمونه‌گیری در مرحله‌ی بعدی می‌رویم. در غیر این صورت، فرایند در مرحله‌ی اول تصحیح می‌شود تا شرایط تحت کنترل حاصل شود. برای دیگر مرحله نیز به همین ترتیب عمل می‌کنیم. شکل ۴ نشان‌گر عملکرد این رویکرد است.

### ۱.۵. تبدیل مسئله به مسئله‌ی تشخیص الگو

در ادبیات موضوع، کاربرد شبکه‌های عصبی در کنترل آماری فرایند چندمتغیره اکثراً با دیدگاه تشخیص الگو یا خوشبندی نگریسته می‌شود. هدف این تحقیق کشف میزان انتقال به وجود آمده در میانگین هر متغیر در هر مرحله است. فرض کنید هر متغیر در هر مرحله از فرایند به لحاظ انتقال میانگین (به صورت ضربی از انحراف استاندارد خود  $\sigma$ ) بتواند در  $9$  طبقه به صورت جدول  $1$  قرار گیرد.

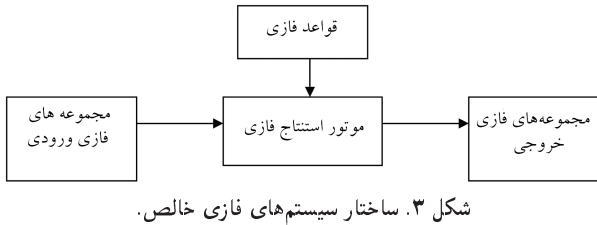
حال در مسئله‌ی که دارای  $m$  متغیر و  $r$  مرحله است مجموعاً  $m \cdot r$  مشخصه‌ی کیفی باید تحت بررسی قرار گیرد که با طبقه‌بندی ذکر شده، تعداد  $9^{m \cdot r}$  الگوی متفاوت از ترکیبات مختلف انتقال در میانگین می‌توان تصور کرد. واضح است که حتی برای نمودهای کوچکی از مسئله، نظر نمود مورد بررسی در این تحقیق که شامل  $2$  متغیر و  $3$  مرحله است،  $9^6$  الگوی انتقال وجود دارد که کمتر از این تعداد تشخیص الگویی قادر به شناسایی مستقیم این تعداد الگو خواهد بود. در این تحقیق برای غلبه بر مشکل موجود، ضمن معرفی فرایند کنترل ترتیبی اشاره شده در شکل ۴، ابعاد مسئله‌ی چندمتغیره - چندمرحله‌ی تا حد یک مسئله‌ی چندمتغیره کاوش می‌یابد.

### ۲.۵. ابزار کنترل کیفیت پیشنهادی

ابزار کنترل کیفیت مورد استفاده برای هر مرحله متشکل از دو قسمت است. قسمت اول از یک شبکه‌ی عصبی خودآراینده به عنوان ابزاری قدرتمند در طبقه‌بندی الگوها

جدول ۱.  $9$  طبقه‌ی انتقال برای مشخصه‌ی کیفی با انحراف استاندارد  $\sigma$ .

									میزان انتقال به
۴۵	۳۵	۲۵	۱۵	۰	-۱۵	-۲۵	-۳۵	-۴۵	وجود آمده در
									میانگین متغیر



شکل ۳. ساختار سیستم‌های فازی خالص.

### ۴. مدل سازی فرایند چندمتغیره‌ی چندمرحله‌ی [۲۹]

در یک فرایند تولیدی که از چند مرحله‌ی وابسته تشکیل شده است و در آن کیفیت محصول در هر مرحله در قالب چندین مشخصه‌ی کیفی (متغیر) هم‌بسته تعریف می‌شود، می‌توان مقادیر این متغیرها را با استفاده از فرم برداری مدل‌های VARMA <sup>۱۹</sup> چندمتغیره ARMA مدل‌سازی کرد. برای این کار فرض کنید بردار تصادفی  $x_t = [x_{t,1}, x_{t,2}, \dots, x_{t,m}]$  مقادیر  $m$  متغیر در زمان  $t$  و بردار تصادفی  $z_t = [z_{t,1}, z_{t,2}, \dots, z_{t,m}]$  نویز سفید <sup>۲۰</sup> با میانگین صفر و ماتریس کواریانس  $\Sigma_z$  باشد. در این صورت یک مدل  $m$  متغیره‌ی  $VARMA(p, q)$  میانگین صفر که توسط معادله‌ی  $7$  مشخص می‌شود را در نظر بگیرید:

$$x_t - \varphi_1 x_{t-1} - \dots - \varphi_p x_{t-p} = z_t + \theta_1 z_{t-1} + \dots + \theta_q z_{t-q} \quad (7)$$

که در آن  $\{\theta_i\}_{m \times m}; (i = 1, 2, \dots, q)$ ,  $\{\varphi_i\}_{m \times m}; (i = 1, 2, \dots, p)$ ,  $(M, A)$  نام دارند. حال اگر  $q = 0$  باشد، آنگاه فرایند برداری به ترتیب ضرایب  $AR$  <sup>۲۱</sup>، به صورت معادله‌ی  $8$  به دست می‌آید:

$$x_t - \varphi_1 x_{t-1} - \dots - \varphi_p x_{t-p} = z_t \quad (8)$$

و اگر فرض کنیم تعداد متغیرهای یک مدل اتورگرسیو مرتیه  $1$  برابر  $2$  باشد،  $(m = 2)$ ،  $(AR)$  <sup>۲۲</sup> به معادله‌ی  $9$  تبدیل خواهد شد.

$$\begin{pmatrix} x_{t,1} \\ x_{t,2} \end{pmatrix} - \begin{pmatrix} \phi_{11} & \phi_{12} \\ \phi_{21} & \phi_{22} \end{pmatrix} \begin{pmatrix} x_{t-1,1} \\ x_{t-1,2} \end{pmatrix} = \begin{pmatrix} z_{t,1} \\ z_{t,2} \end{pmatrix} \quad (9)$$

که می‌توان آن را به صورت معادله‌ی  $10$  نوشت.

$$\begin{aligned} x_{t,1} &= \phi_{11} x_{t-1,1} + \phi_{12} x_{t-1,2} + z_{t,1} \\ x_{t,2} &= \phi_{21} x_{t-1,1} + \phi_{22} x_{t-1,2} + z_{t,2} \end{aligned} \quad (10)$$

در این تحقیق یک فرایند چندمرحله‌ی خودهمبسته دارای دو متغیر و سه مرحله در نظر گرفته شده است و از مدل VAR(1) <sup>۱۰</sup> برای تولید داده در شبکه استفاده می‌شود. برای این کار روش دلار و نلسون <sup>۲۳</sup> در نرم‌افزار Matlab به کار گرفته شده که در آن ماتریس ضرایب اتورگرسیو (AR) عبارت است از:

$$\varphi = \begin{bmatrix} 0,9 & 0 \\ 0 & 0,95 \end{bmatrix}$$

### ۵. روش پیشنهادی برای کنترل کیفیت فرایندهای

#### چندمتغیره - چندمرحله -ی

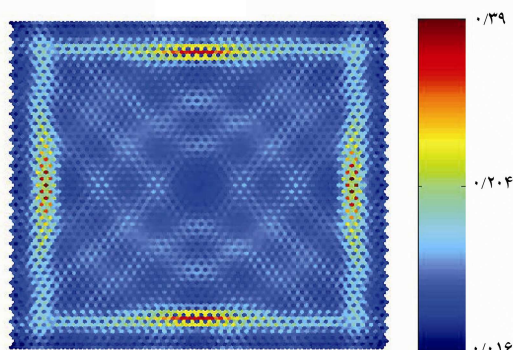
در این تحقیق برای کنترل فرایندهای چندمتغیره - چندمرحله‌ی، رویکردی تحت عنوان «کنترل ترتیبی <sup>۲۴</sup>» پیشنهاد می‌شود. در این رویکرد نمونه‌گیری به ترتیب از

دیدگاه عملی، انتقال میانگین از حالت تحت کنترل به حالت خارج از کنترل صورت می‌پذیرد. بنابراین در معروفی الگوهای انتقال به شبکه، داده‌های مربوط به هر یک از  $8^{\circ}$  الگوی انتقال در میانگین پس از داده‌های تحت کنترل (بردار میانگین  $(0^{\circ} \text{ و } 5^{\circ})$ ) تولید و به شبکه معرفی می‌شوند.

درخصوص تعداد داده‌های آموزش در هر الگو نمی‌توان روش مشخصی در نظر گرفت. هرچه تعداد داده‌ها در یک الگو بیشتر باشد، توانایی شبکه در شناسایی الگوها افزایش می‌یابد ولی افزایش بیش از حد داده‌های آموزش موجب افزایش زمان آموزش شبکه و همچنین افزایش ابعاد نقشه‌ی شبکه می‌شود که هر دو از جمله عوامل نامناسب محسوب می‌شوند. در این تحقیق تعداد داده‌های آموزش در هر الگوی انتقال یافته، برابر  $10000$  است و برای شرایط تحت کنترل نیز  $50000$  داده تولید می‌شود. ملاحظه می‌شود که تعداد داده‌های آموزش در حالت تحت کنترل  $5$  برابر داده‌های معرفی شده در دیگر الگوها در نظر گرفته می‌شود؛ علت آن است که بیشتر بودن تعداد داده‌های تحت کنترل در مقایسه با تعداد داده‌های الگوهای خارج از کنترل باشد. بنابراین در حالت کلی، داده‌های آموزش برای شبکه در مرحله تحت کنترل موجب کاهش خطای نوع اول شبکه، و افزایش متوسط طول دنباله تحت کنترل می‌شود.

### ۳.۳.۵. تفسیر خروجی شبکه

پس از آموزش شبکه در مراحل اول، دوم و سوم فرایند تولیدی، نقشه‌های آنها تماماً شبیه به آنچه که در شکل  $5$  برای مرحله اول نشان داده شده، به دست آمد. در مورد پارامترهای کیفی شبکه‌ی آموزش داده شده، در حالی که ابعاد نقشه برای همه‌ی مراحل  $44 \times 51$  است، خطای مقداردهی شبکه برای مراحل یک تا سه به ترتیب برابر  $2583^{\circ}, 2584^{\circ}, 2586^{\circ}$  و خطای نقشه‌برداری شبکه در مراحل سه‌گانه به ترتیب  $425^{\circ}, 427^{\circ}, 422^{\circ}$  است. در شکل  $6$  الگوهای تشخیص داده شده توسط شبکه برای مرحله اول به صورت شماتیک نشان داده شده‌اند. الگوهای مراحل دیگر نیز نظری همین مرحله به دست می‌آید. همان‌گونه که از شکل  $6$  بر می‌آید در مرکز نقشه الگوی بدون انتقال یا بردار میانگین انتقال  $(0^{\circ})$  قرار می‌گیرد. بزرگ‌تر بودن خوشی این الگو نسبت به الگوهای دیگر به دلیل بیشتر بودن تعداد داده‌های آموزشی در این الگو است. خوشی‌های الگوهای انتقال کوچک به صورت حلقه‌ی دور تا دور این خوشی را احاطه کرده‌اند. خوشی‌های الگوهای انتقال متوسط نیز به همین ترتیب خوشی‌های الگوهای انتقال کوچک را احاطه کرده‌اند و نهایتاً وضع برای خوشی‌های انتقال بزرگ نیز به همین منوال است. نحوه‌ی قرارگرفتن و رنگ عناصر (نورون‌های) نقشه بر حسب فاصله‌ی آنها از یکدیگر است. بنابراین رنگ‌های آبی پررنگ تعلق زیاد عنصر را به یک دسته و رنگ‌های روش‌تر تعلق کم‌تریک عنصر به یک دسته‌ی خاص را نشان می‌دهد.



شکل ۵. نقشه‌ی U-MAT مرحله اول.

تشکیل شده است و قسمت دوم شامل یک سیستم استنتاج فازی است که برای تضمیم‌گیری نهایی درخصوص وضعیت متغیرها در هر مرحله به کار می‌رود.

### ۳.۵. آموزش شبکه

برای آموزش شبکه‌ی عصبی لازم است که داده‌های مربوط به حالت‌های تحت کنترل و خارج از کنترل فرایند تولید شود. برای این کار از رابطه‌ی  $11$  استفاده می‌شود:

$$(11) \quad \mathbf{x}_t = \mathbf{z}_{t-1} + \mathbf{s}_t$$

که در آن دو جمله‌ی  $\mathbf{s}_t$  (انحراف ایجادشده در میانگین فرایند) و  $\mathbf{z}_{t-1}$  عوامل مؤثر در مقدار  $\mathbf{x}_t$  هستند. چنان‌که در قسمت‌های قبل مشاهده شد، داده‌های آموزش برای ارائه به شبکه در مرحله‌ی اول، بدون تأثیرپذیری از متغیرهای مرحله‌ی قبل ایجاد می‌شود و مرحله‌ی دوم تحت شرایطی کنترل خواهد شد که مرحله‌ی اول در شرایط تحت کنترل باشد. بنابراین در حالت کلی، داده‌های آموزش برای شبکه در مرحله‌ی نام شامل همه‌ی الگوهای انتقال متغیرهای همان مرحله خواهد بود.

### ۳.۵. ۱. بردار ورودی شبکه

در این تحقیق دو عامل اساسی در تشکیل بردار ورودی شبکه مد نظر قرار گرفته است که مستقیماً در کارایی روش پیشنهادی مؤثر خواهد بود:

۱. اندازه‌ی نمونه: با معرفی اندازه‌ی نمونه‌ی مناسب می‌توان محدوده‌ی تغییرات داده‌های در الگوهای مختلف را چنان کنترل کرد که شبکه قادر به تشخیص الگوهای شود. با روش سعی و خطای و با در نظر گرفتن اندازه‌ی نمونه‌ی  $5$ ، معیارهای ارزیابی کارایی روش پیشنهادی در حد مطلوبی قرار می‌گیرند.

۲. تعداد مشاهدات قبلی: در تشکیل بردار ورودی لازم است که علاوه بر مشاهده‌ی فعلی، تعدادی از مشاهدات قبلی نیز به شبکه ارائه شوند. تعداد مشاهدات قبلی دخیل در تشکیل بردار ورودی بسیار شدیدتر از تأثیر اندازه‌ی نمونه، کارایی شبکه را تحت تأثیر قرار می‌دهند. بدین ترتیب که افزایش تعداد مشاهدات قبلی، متوسط طول دنباله تحت کنترل را بهشت افزایش می‌دهد ولی متوسط طول دنباله خارج از کنترل و متوسط طول دنباله برای تشخیص دقیق طبقه ( $ARL_{DCC}$ )، خصوصاً در مورد انتقال‌های کوچک افزایش می‌یابند و در ترتیجه روش پیشنهادی قابلیت خود را برای کشف انتقال میانگین خصوصاً در مورد انتقال‌های کوچک از دست می‌دهد. بنابراین تعداد مشاهدات قبلی باید به صورتی در نظر گرفته شود که رابطه‌ی جایگزین  $^{24}$  (تعادل) بین قابلیت شناسایی انتقال و متوسط طول دنباله تحت کنترل برقرار شود. واردکردن مقدار مشاهده‌ی قبل در بردار ورودی و همچنین استفاده از یک سیستم استنتاج فازی در تحلیل خروجی شبکه نهایتاً نتیجه‌ی مطلوب را به دست می‌دهد. بنابراین بردار ورودی برای معرفی به شبکه خودآراینده در مرحله‌ی نام به صورت زیر خواهد بود:

$$(X_{1jk}, X_{2jk}, X_{1j(k-1)}, X_{2j(k-1)}) = \text{بردار ورودی}$$

که در آن  $X_{ijk}$  مشاهده‌ی  $k$  از مشخصه‌ی کیفی نام در مرحله‌ی زام،  $(i=1, 2, \dots, N)$ ،  $(k=1, 2, 3)$  است.

### ۲.۳.۵. آموزش شبکه

با توجه به این که مقادیر مشخصه‌های کیفی در زمان  $t$  بهمراه این مقادیر در زمان  $(t-1)$  در بردار ورودی به شبکه ارائه می‌شوند، ترتیب داده‌ها از نظر انتقال از یک الگو به الگوی دیگر، یادگیری شبکه برای کشف الگوهای را تحت تأثیر قرار می‌دهد. از

## ۴.۵. سیستم استنتاج فازی

علاوه بر نقشه‌ی شبکه، ابزار مناسبی برای تصمیم‌گیری نهایی درخصوص خروجی شبکه درمورد وضعیت انتقال یا عدم انتقال — بهویژه هنگامی که یک نورون برنده در مز قرار می‌گردد — مورد نیاز است. برای این منظور، در این بخش از سیستم استنتاج فازی استفاده شده است. سیستم استنتاج فازی را می‌توان براساس دانش خیرگان<sup>۲۵</sup> یا داده‌های مشاهده شده<sup>۲۶</sup> ساخت. نحوه استخراج قوانین از این روش‌ها را کوسکو<sup>۲۷</sup> شرح داده است. قوانین تصمیم‌گیری براساس خروجی‌های شبکه عبارت‌اند از:

۱. اگر احتمال تعلق نورون برنده به یک دسته بیش از ۹۵٪ باشد، می‌پذیریم که آن مشاهده به آن دسته متعلق است.

۲. اگر احتمال تعلق نورون برنده به یک دسته کمتر از ۵٪ باشد، مشاهده به آن دسته تعلق ندارد.

۳. اگر احتمال تعلق نورون برنده به یک دسته در محدوده (۹۵٪ و ۵٪) قرار گرفت، تصمیم‌گیری نمی‌کنیم و تا مشاهده‌ی بعدی صبر می‌کنیم. سپس هر دو مشاهده را به عنوان ورودی به سیستم استنتاج فازی می‌سپاریم تا سیستم تصمیم‌گیری را انجام دهد.

در ادامه، تعریف ورودی‌ها، خروجی‌ها و قوانین این سیستم ارائه شده است.

### ۴.۵.۱. ورودی‌های سیستم استنتاج فازی

احتمال‌های تعلق نورون‌های برنده در دو مشاهده‌ی پیاپی به دسته‌های ۸۱ و ۱۶۲ ورودی به سیستم استنتاج فازی معروفی می‌شوند. بنا بر این ۱۶۲ ورودی خواهیم داشت. برای هر یک از ورودی‌ها ۵ تابع عضویت پی<sup>۲۷</sup> (۵ سطح) در نظر گرفته می‌شود که به ترتیب عبارت‌اند از: خیلی کم، کم، متوسط، بزرگ و خیلی بزرگ. در شکل ۸ توابع عضویت ۵ گانه برای هر یک از ورودی‌ها نمایش داده شده است.

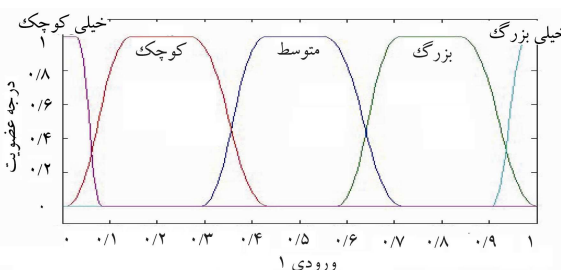
### ۴.۵.۲. خروجی‌های سیستم استنتاج فازی

خروچی‌های مورد انتظار از سیستم فازی عبارت است از این که «مشاهده‌ی دوم، به چه دسته‌یی تعلق دارد؟» بنا بر این خروچی سیستم استنتاج فازی، شامل ۸۱ خروچی است که هر کدام از خروچی‌ها بیان‌گر دسته‌ی مشاهده‌ی دوم است. برای هر یک از عناصر خروچی ۲ تابع عضویت پی تعریف می‌شود که به ترتیب بیان‌گر عدم تعلق و تعلق به آن دسته‌اند (شکل ۹).

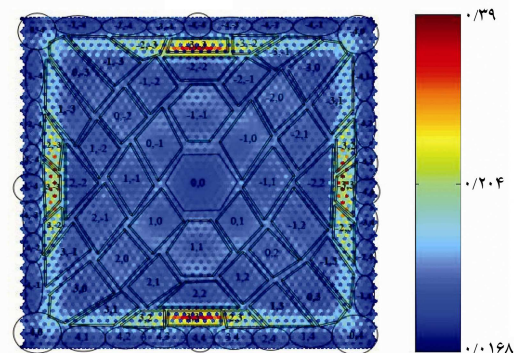
### ۴.۵.۳. قوانین سیستم استنتاج فازی

قواعد مورد استفاده برای سیستم استنتاج فازی عبارت‌اند از:

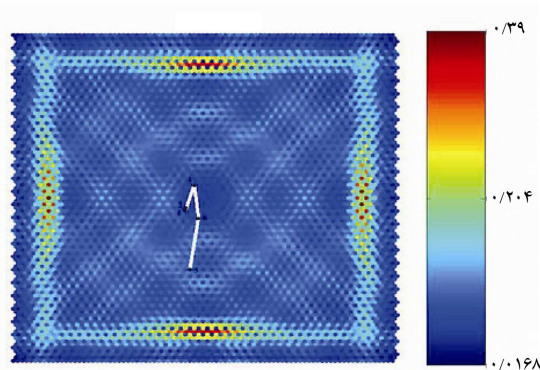
۱. اگر میزان احتمال تعلق به یک دسته در دو داده‌ی پیاپی در یک سطح (به جز سطح خیلی کم) باقی ماند، آنگاه مشاهده‌ی آخر متعلق به آن دسته است. برای



شکل ۸. توابع عضویت ۵ گانه برای هر یک از ورودی‌های سیستم استنتاج فازی.



شکل ۶. الگوهای قابل شناسایی بر روی نقشه مرحله اول.



شکل ۷. نمایش وضعیت فرایند بر روی نقشه MAT-U.

برای درک بهتر مطلب، رنگ روشن‌تر موجود در مز خوش‌های الگوی بدون انتقال (دسته‌ی صفر) و الگوهای انتقال کوچک، بیان‌گر این مطلب است که عناصر موجود در این قسمت می‌توانند هم به دسته‌ی صفر و هم به الگوهای انتقال کوچک در میانگین تعلق داشته باشند. با استفاده از این ایده، احتمال تعلق یک عنصر (نورون) به هر یک از الگوها محاسبه می‌شود. برای این منظور ۱۰۰۰۰ داده در هر یک از الگوها تولید می‌شود و نورون‌های برنده برای این داده‌ها محاسبه می‌شوند. با این عمل هر نورون به ازاء یک یا چند الگو، نورون برنده خواهد بود و با تقسیم تعداد دفعات برنده‌بودن هر نورون در هر الگوی انتقال بر بیشینه‌ی آن، احتمال تعلق هر نورون به هر یک از الگوها محاسبه می‌شود. سپس با واردکردن این احتمال‌ها در یک سیستم استنتاج فازی، می‌توان یک ابزار تصمیم‌گیری برای خروجی‌های شبکه تشکیل داد.

یکی از عملده‌ترین خواص شبکه‌ی خودآراینده، برخورداری از قابلیت نمایش الگوی حرکت فرایند در طی زمان است. با ارائه‌ی هر بردار ورودی به شبکه یک نورون برنده در نقشه مشخص می‌شود؛ و با نمایش این عنصر روی نقشه در طی زمان الگوی حرکتی فرایند به خوبی قابل مشاهده خواهد بود. برای مثال، در شکل ۷ مشاهده می‌شود که سه نمونه‌ی اول کاملاً تحت کنترل اند ولی از نمونه‌ی چهارم به بعد فرایند به سمت انتقال به اندازه‌ی  $1/\sigma$  در متغیر  $x_1$  و  $1/\sigma$  در متغیر  $x_2$  متمایل شده است. درین تحقیقات انجام شده در زمینه‌ی استفاده از شبکه‌های عصبی در کنترل آماری فرایند، تاکنون موفق به یافتن روشی برای مشاهده‌ی روند حرکت فرایند در طی زمان (نظیر آنچه که از نمودارهای کنترلی شوهرت می‌توان دریافت) نشده‌ایم.

اتفاق ممکن است ناشی از تأثیر آبشاری مراحل بر یکدیگر باشد. با اضافه شدن نویز متراکم در مراحل بالاتر، متوسط طول دنباله تحت کنترل کاهش می‌یابد. همچنین مشاهده می‌شود که در همه مراحل، متوسط طول دنباله تحت کنترل در روش پیشنهادی بیشتر از تحقیق قبلی است.

## ۲.۶. متوسط طول دنباله خارج از کنترل

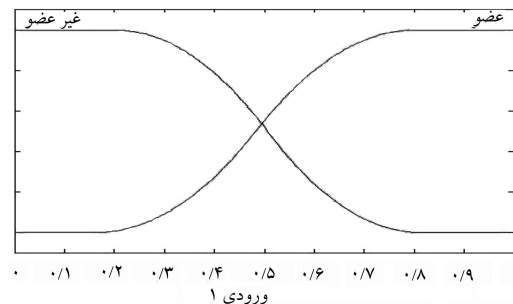
در جداول ۳ و ۴ مقادیر متوسط طول دنباله خارج از کنترل، به ازای انتقال‌های متفاوت در میانگین فرایند در روش‌های مختلف ارائه شده است. مشاهده می‌شود که روش پیشنهادی به مرتب از قابلیت بالاتری برای کشف انحراف‌های کوچک میانگین فرایند (نسبت به روش‌های دیگر) برخوردار است. همچنین قدرت روش پیشنهادی در کشف انحراف‌های مختلف با تحقیق انجام شده قبلي<sup>[۵]</sup> قبل از این را برابر است؛ هرچند در تحقیق قبلی صرفاً قابلیت کشف انحراف‌های متغیرها در مرحله با فرض تحت کنترل بودن متغیرها در مراحل دیگر انجام شده که حالت خاصی از روش پیشنهادی در تحقیق حاضر است. کمتر بودن متوسط طول دنباله خارج از کنترل در مراحل بالاتر به دلیل افزایش خطای نوع اول شبکه در مراحل بالاتر و در ترتیبه کاهش خطای نوع دوم در این مراحل است که موجب کاهش متوسط طول دنباله خارج از کنترل می‌شود.

## ۳. متوسط طول دنباله برای کشف صحیح طبقه‌ی انتقال

هدف روش پیشنهادی، کشف و طبقه‌بندی صحیح بزرگی انتقال به وجود آمده در میانگین مشخصه‌های کیفی است. با داشتن این اطلاع مفید، کاربر قادر خواهد بود که بر حسب تجربه علل خروج از کنترل فرایند را تشخیص دهد. از این رو برای ارزیابی کارایی روش پیشنهادی در این خصوص، شاخص «متوسط طول دنباله برای کشف صحیح طبقه‌ی انتقال»، معروفی می‌شود. در جداول ۵ و ۷ مشاهده می‌شود که روش ارائه شده در مراحل مختلف حداقل پس از ۲,۵۸۸ داده به طور میانگین، طبقه‌ی صحیح انتقال را کشف می‌کند و این حاکی از کارایی خوب روش پیشنهادی در کشف طبقه‌ی انتقال است. کاهش این شاخص با بالاتر فتن مرحله به دلیل ذکر شده‌ی کاهش خطای نوع دوم روش در مراحل بالاتر است.

## ۷. نتیجه‌گیری

در این تحقیق، برای تشخیص انحراف‌های میانگین یک فرایند چندمتغیره - چندمرحله‌ی، روشی مبتنی بر دیدگاه عصبی - فازی معرفی شده که از قابلیت تشخیص بزرگی انتقال رخداده در هر یک از متغیرها برخوردار است. کارایی این روش با ۳ معیار: متوسط طول دنباله تحت کنترل، متوسط طول دنباله خارج از کنترل و متوسط طول دنباله برای تشخیص دقیق طبقه، سنجیده شده است. روش پیشنهادی توسط یک مثال از فرایند چندمرحله‌ی خودهمبسته با ۲ متغیر و ۳ مرحله که توسط سری زمانی اتورگرسیو مرتبه ۱ شبیه‌سازی شده، ارزیابی شده است. نتایج حاصل از ارزیابی‌ها نشان می‌دهد که روش پیشنهادی نسبت به تحقیقات قبلی انجام شده در این زمینه، خصوصاً در شناسایی انحرافات کوچک، کارایی بهتری دارد. همچنین روش ارائه شده برخلاف تحقیقات قبلی که به بررسی حالت خاصی از فرایند چندمتغیره یا چندمرحله‌ی می‌پرداختند، مسئله‌ی چندمتغیره چندمرحله‌ی را به طور عام در نظر می‌گیرد.



شکل ۹. توابع عضویت هر یک از خروجی‌های سیستم استنتاج فازی.

جدول ۲. مقایسه متوسط طول دنباله تحت کنترل در روش پیشنهادی با روش انجام شده قبلي.<sup>[۵]</sup>

روش انجام شده قبلي	روش پیشنهادی
۱۸۸/۶۶	۲۳۶/۲۵ مرحله اول
۱۷۸/۹۶	۲۰۶/۴۵ مرحله دوم
۱۵۴/۳۱	۱۷۳/۸۵ مرحله سوم

مثال، اگر احتمال تعلق به دسته‌ی صفر در دو داده‌ی پیاپی در سطح متوسط باقی ماند، مشاهدات به دسته‌ی صفر تعلق دارند.

۲. اگر میزان احتمال تعلق به یک دسته در دو داده‌ی پیاپی کاهش یافت (درصورتی که مشاهده‌ی اول در سطح خیلی زیاد نباشد)، آنگاه مشاهده‌ی آخر به آن دسته تعلق ندارد.

۳. اگر میزان احتمال تعلق به یک دسته در دو داده‌ی پیاپی افزایش یافت، آنگاه مشاهده‌ی آخر به آن دسته تعلق دارد.

راسل و کمبل دریافتند که با افزایش تعداد رودهای سیستم استنتاج فازی، تعداد قوانین بیش از اندازه بزرگ و غیرقابل کنترل می‌شود.<sup>[۲۱]</sup> در این تحقیق به دلیل این که هر قانون، فقط ۲ عدد از رودهای را در هر زمان و به صورت منحصر به فرد فعال می‌کند، تعداد قوانین بیش از حد به دست نمی‌آید. همچنین قوانین بر روی یک سری از رودهای، خروجی خاصی را فعال می‌کند که این امر از بر هم کنش قوانین و تناقضاتی که بعضًا ممکن است در قوانین با تعداد زیاد رخ دهد، جاگیری می‌کند.

## ۶. ارزیابی روش

برای ارزیابی نحوه عملکرد روش پیشنهادی در این تحقیق از سه معیار: متوسط طول دنباله تحت کنترل، متوسط طول دنباله خارج از کنترل و متوسط طول دنباله برای تشخیص دقیق طبقه، خروج از کنترل، استفاده شده است.<sup>[۲۲]</sup> همچنین نتایج به دست آمده با نتایج تحقیقات انجام شده قبلي<sup>[۵]</sup> و نیز با نمودار چندمتغیره‌ی هاتلینگ مقایسه شده است.

۱.۶. متوسط طول دنباله تحت کنترل در جدول ۲ متوسط طول دنباله تحت کنترل در مراحل سه‌گانه‌ی فرایند در روش پیشنهادی با روش انجام شده قبلي ارائه شده است. همان‌طور که از جدول ۲ برمی‌آید با پیش روی هر مرحله، متوسط طول دنباله تحت کنترل کاهش می‌یابد. این

جدول ۳. متوسط طول دنباله خارج از کنترل برای روش پیشنهادی و تحقیقات قبلی در مرحله‌ی اول (خطای نوع یک برابر ۰,۰۶۳٪ است).

	انتقال میانگین	روش پیشنهادی	روش نیاکی - داودی	روش جن-وانگ	نمودار کنترل چندمتغیره هتلینگ
انتقال کوچک	(۱, ۰)	۱,۴۶۹	۲,۱۱	۲,۲۵۲	۲,۹۲۴
	(۰, ۱)	۱,۴۲۷	۲,۶۵	۱,۴۴۷	۲,۹۲۳
	(-۱, ۰)	۱,۴۴	۲	۲,۶۱۸	۳,۰۱۲
	(۰, -۱)	۱,۴۴۳	۱,۹۵	۲,۷۴	۳,۰۲۱
	(-۱, ۱)	۱,۰۸۳	۱/۳	۱,۴۴۷	۱,۰۸۸
	(۱, -۱)	۱,۰۷۹	۱,۲۷	۱,۳۴۳	۱,۰۸۱
	(-۱, -۱)	۱,۳۸۷	۱/۵	۱,۸۴۵	۳,۰۹۶
	(۱, ۱)	۱,۴۱	۱/۶	۱,۶۲۹	۲,۸۵۷
انتقال متوسط	میانگین	۱,۳۴۲	۱,۷۹۸	۱,۹۱۱	۲,۵۰۲
	ماکریم	۱,۴۶۹	۲,۶۵۰	۲,۷۴۰	۳,۰۹۶
	مینیمیم	۱,۰۷۹	۱,۲۷۰	۱,۳۴۳	۱,۰۸۱
	(۰, ۲)	۱,۰۳۶	۱,۰۵۰	۱,۰۶۳	۱,۰۱۰
	(۰, -۲)	۱,۰۱۶	۱	۱,۰۷۴	۱,۰۱۳
	(۲, ۰)	۱,۰۵۱	۱,۰۳۰	۱,۰۵۴	۱,۰۱۲
	(-۲, ۰)	۱,۰۳۶	۱	۱,۰۸۱	۱,۰۲۲
	(۱, ۲)	۱,۰۵۰	۱,۰۲۰	۱,۰۵۹	۱,۰۷۴
	(۱, -۲)	۱,۰۰۳	۱,۰۱۰	۱,۰۱۶	۱
	(۲, ۱)	۱,۰۷۱	۱,۰۶۰	۱,۰۵۴	۱,۰۸۱
	(۲, -۱)	۱,۰۰۱	۱	۱,۰۰۹	۱
	(-۱, ۲)	۱	۱	۱,۰۱۳	۱
	(-۱, -۲)	۱,۰۵۶	۱,۰۲۰	۱,۰۸۳	۱,۰۸۱
	(-۲, ۱)	۱,۰۰۱	۱	۱,۰۲۱	۱
	(-۲, -۱)	۱,۰۵۳	۱,۰۲۰	۱,۰۸۸	۱,۰۸۹
	(۲, ۲)	۱,۰۱۴	۱,۰۱۰	۱,۰۲۲	۱,۰۲۲
	(۲, -۲)	۱	۱	۱	۱
	(-۲, ۲)	۱	۱	۱	۱
	(-۲, -۲)	۱,۰۰۸	۱	۱,۰۲۷	۱,۰۱۸
انتقال بزرگ	میانگین	۱,۰۲۵	۱,۰۱۴	۱,۰۴۲	۱,۰۲۶
	ماکریم	۱,۰۷۱	۱,۰۶۰	۱,۰۸۸	۱,۰۸۹
	مینیمیم	۱	۱	۱	۱
	(۰, ۳)	۱	۱	۱	۱
	۰	۰	۰	۰	۰
	۰	۰	۰	۰	۰
	۰	۰	۰	۰	۰
	(-۴, -۴)	۱	۱	۱	۱
	میانگین	۱	۱	۱	۱
	ماکریم	۱	۱	۱	۱
	مینیمیم	۱	۱	۱	۱

جدول ۴. مقایسه متوسط طول دنباله خارج از کنترل برای روش پیشنهادی و روش تحقیق قبلی (خطای نوع یک برابر ۶۳٪ است).

ب) در مرحله‌ی سوم

	انتقال میانگین	روش پیشنهادی	روش نیاکی-داودی
انتقال کوچک	(۱, ۰)	۱,۳۷۵	۲,۲۹۰
	(۰, ۱)	۱,۴۷۵	۲,۵۴۰
	(-۱, ۰)	۱,۴۸۶	۲,۵۳۰
	(۰, -۱)	۱,۴۲۹	۲,۵۳۰
	(-۱, ۱)	۱,۱۰۲	۱,۲۹۰
	(۱, -۱)	۱,۰۷۷	۱,۱۵۰
	(-۱, -۱)	۱,۴۰۷	۱,۶۴۰
	(۱, ۱)	۱,۳۵۰	۲,۲۳۰
	میانگین	۱,۳۳۸	۲,۰۲۵
	ماکریم	۱,۴۸۶	۲,۵۴۰
انتقال متوسط	مینیمم	۱,۰۷۷	۱,۱۵۰
	(۰, ۲)	۱,۰۲۹	۱,۰۲۰
	(۰, -۲)	۱,۰۳۷	۱,۰۲۰
	(۲, ۰)	۱,۰۱۴	۱,۰۵۰
	(-۲, ۰)	۱,۰۳۷	۱,۰۴۰
	(۱, ۲)	۱,۰۵۰	۱,۰۶۰
	(۱, -۲)	۱,۰۰۱	۱
	(۲, ۱)	۱,۰۵۴	۱,۰۷۰
	(۲, -۱)	۱,۰۰۱	۱,۰۱۰
	(-۱, ۲)	۱,۰۰۳	۱,۰۱۰
	(-۱, -۲)	۱,۰۶۰	۱,۰۳۰
	(-۲, ۱)	۱,۰۰۳	۱
	(-۲, -۱)	۱,۰۷۱	۱,۰۷۰
	(۲, ۲)	۱,۰۱۱	۱,۰۲۰
	(۲, -۲)	۱	۱
	(-۲, ۲)	۱	۱
	(-۲, -۲)	۱,۰۱۱	۱
انتقال بزرگ	میانگین	۱,۰۲۴	۱,۰۲۵
	ماکریم	۱,۰۷۱	۱,۰۷۰
	مینیمم	۱	۱
	(۰, ۳)	۱,۰۰۰	۱,۰۰۰
	۰	۰	۰
	۰	۰	۰
	۰	۰	۰
	(-۴, -۴)	۱,۰۰۰	۱,۰۰۰
	میانگین	۱,۰۰۰	۱,۰۰۰
	ماکریم	۱,۰۰۰	۱,۰۰۰
	مینیمم	۱,۰۰۰	۱,۰۰۰

الف) در مرحله‌ی دوم

	انتقال میانگین	روش پیشنهادی	روش نیاکی-داودی
انتقال کوچک	(۱, ۰)	۱,۴۴۳	۲,۲۴۰
	(۰, ۱)	۱,۴۴۳	۱,۹۵۰
	(-۱, ۰)	۱,۴۵۰	۲,۵۷۰
	(۰, -۱)	۱,۴۲۵	۲,۲۶۰
	(-۱, ۱)	۱,۰۹۵	۱,۲۷۰
	(۱, -۱)	۱,۰۹۲	۱,۳۲۰
	(-۱, -۱)	۱,۳۵۴	۱,۶۴۰
	(۱, ۱)	۱,۳۸۶	۱,۴۴۰
	میانگین	۱,۳۳۶	۱,۸۳۶
	ماکریم	۱,۴۵۰	۲,۵۷۰
انتقال متوسط	مینیمم	۱,۰۹۲	۱,۲۷۰
	(۰, ۲)	۱,۰۲۴	۱,۰۴۰
	(۰, -۲)	۱,۰۳۰	۱,۰۵۰
	(۲, ۰)	۱,۰۲۲	۱,۰۸۸
	(-۲, ۰)	۱,۰۲۱	۱,۰۲۰
	(۱, ۲)	۱,۰۵۳	۱,۰۲۰
	(۱, -۲)	۱,۰۰۲	۱
	(۲, ۱)	۱,۰۶۵	۱,۰۷۰
	(۲, -۱)	۱,۰۰۲	۱
	(-۱, ۲)	۱	۱
	(-۱, -۲)	۱,۰۴۹	۱,۰۲۰
	(-۲, ۱)	۱,۰۰۲	۱
	(-۲, -۱)	۱,۰۴۸	۱,۰۵۰
	(۲, ۲)	۱,۰۱۷	۱
	(۲, -۲)	۱	۱
	(-۲, ۲)	۱,۰۱۱	۱
	میانگین	۱,۰۲۲	۱,۰۲۲
انتقال بزرگ	ماکریم	۱,۰۶۵	۱,۰۸۸
	مینیمم	۱	۱
	(۰, ۳)	۱	۱
	۰	۰	۰
	۰	۰	۰
	(-۴, -۴)	۱	۱
	میانگین	۱	۱
ماکریم	۱	۱	۱
	مینیمم	۱	۱

جدول ۵. متوسط طول دنباله برای کشف صحیح طبقه‌ی انتقال در مرحله‌ی اول.

$X_1$	-۴	-۳	-۲	-۱	۰	۱	۲	۳	۴	ماکریم	مینیم	میانگین
-۴	۲,۰۸۷	۲,۱۶۵	۲,۲۲۴	۲,۱۷	۲,۲۲۸	۲,۱۹۲	۲,۱۹۶	۲,۲۳۷	۲,۱۳۳	۲,۳۳۷	۲,۰۸۷	۲,۱۹۲
-۳	۲,۲۷۵	۲,۲۹۷	۲,۲۷۵	۲,۲۶۸	۲,۲۶۱	۲,۲۰۸	۲,۳۴۳	۲,۲۵۳	۲,۴۰۷	۲,۲۵۳	۲,۲۹۹	
-۲	۲,۲۳۴	۲,۲۵۹	۲,۲۹۱	۲,۱۴۱	۲,۲۵۵	۲,۲۷۹	۲,۲۲۶	۲,۲۳۵	۲,۱۸	۲,۲۹۱	۲,۱۴۱	۲,۲۳۳
-۱	۲,۲۳۶	۲,۲۴	۲,۱۴۸	۱,۱۸۱	۱,۶۵۷	۲,۰۵۱	۲,۲۶۷	۲,۳۰۱	۲,۲۱۳	۲,۳۰۱	۱,۶۵۷	۲,۱۰۳
۰	۲,۱۹۶	۲,۲۳۲	۲,۱۹۴	۱,۶۹۱		۱,۷۹۱	۲,۲۰۸	۲,۲۹۲	۲,۲۴۶	۲,۳۲۳	۱,۶۹۱	۲,۱۱۸
۱	۲,۱۷۳	۲,۲۹۹	۲,۲۳۵	۲,۱۴۳	۱,۷۲۸	۱,۷۴۲	۲,۲۱	۲,۲۵۱	۲,۱۶۹	۲,۲۹۹	۱,۷۲۸	۲,۱۰۶
۲	۲,۲۱۹	۲,۲۹۴	۲,۳۲۱	۲,۲۲۶	۲,۲۶۳	۲,۱۰۹	۲,۳۹۴	۲,۳۳۸	۲,۲۰۱	۲,۳۹۴	۲,۱۰۹	۲,۲۶۳
۳	۲,۲۴۱	۲,۲۴۱	۲,۳۲۳	۲,۳۲۴	۲,۲۱۷	۲,۲۶۶	۲,۲۸۵	۲,۳۲۶	۲,۱۶۴	۲,۳۳۴	۲,۱۶۴	۲,۲۶۷
۴	۲,۱۹۸	۲,۵۸۸	۲,۱۶۵	۲,۲۳۶	۲,۲۲۵	۲,۱۴۵	۲,۱۸۷	۲,۲۱۷	۲,۱۹	۲,۵۸۸	۲,۱۴۵	۲,۲۳۹
ماکریم	۲,۲۷۵	۲,۵۸۸	۲,۳۲۳	۲,۳۲۴	۲,۲۶۳	۲,۳۰۸	۲,۳۹۴	۲,۳۳۸	۲,۴۰۷	۲,۵۸۸		
مینیم	۲,۰۸۷	۲,۱۶۵	۲,۱۴۸	۱,۶۹۱	۱,۶۵۷	۱,۷۴۲	۲,۱۸۷	۲,۲۱۷	۲,۱۳۳		۱,۶۵۷	
میانگین	۲,۲۰۷	۲,۳۰۱	۲,۲۴۳	۲,۱۱۳	۲,۱۰۴	۲,۰۹۸	۲,۲۵۷	۲,۲۸۳	۲,۲۱۱			۲,۲۰۲

جدول ۶. متوسط طول دنباله برای کشف صحیح طبقه‌ی انتقال در مرحله‌ی دوم.

$X_1$	-۴	-۳	-۲	-۱	۰	۱	۲	۳	۴	ماکریم	مینیم	میانگین
-۴	۲,۲۴۵	۲,۲۱	۲,۲۱۹	۲,۱۵۸	۲,۲۲۱	۲,۲۳۳	۲,۱۴۵	۲,۳۹۸	۲,۱۵۲	۲,۳۹۸	۲,۱۴۵	۲,۲۲۰
-۳	۲,۲۲۹	۲,۲۳۲	۲,۲۴۱	۲,۲۳	۲,۳۱۱	۲,۲۷۷	۲,۲۴۳	۲,۲۹۵	۲,۳۵۱	۲,۳۵۱	۲,۲۲۹	۲,۲۶۸
-۲	۲,۱۹۸	۲,۳۱۵	۲,۲۸۹	۲,۲۲۳	۲,۲۸۱	۲,۳۳۱	۲,۲۵۴	۲,۲۱	۲,۲۲۳	۲,۳۳۱	۲,۱۹۸	۲,۲۵۹
-۱	۲,۱۴۱	۲,۲۵۴	۲,۱۶۵	۱,۷۵۴	۱,۷۹۲	۲,۱۳۳	۲,۲۴۸	۲,۲۸۱	۲,۱۹۷	۲,۲۸۱	۱,۷۵۴	۲,۱۰۷
۰	۲,۱۸۲	۲,۲۹۵	۲,۲۱۹	۱,۷۲۹		۱,۷۴۱	۲,۱۹۲	۲,۲۹۲	۲,۱۵۵	۲,۲۹۵	۱,۷۲۹	۲,۱۰۱
۱	۲,۳۱۳	۲,۲۲۲	۲,۲۴۳	۲,۱۱۶	۱,۶۶۷	۱,۷۵۷	۲,۱۹۵	۲,۲۵۶	۲,۲۰۷	۲,۳۱۳	۱,۶۶۷	۲,۱۰۸
۲	۲,۱۷۷	۲,۱۹۳	۲,۲۴۸	۲,۲۵۷	۲,۱۹۵	۲,۱۲	۲,۳۲۳	۲,۲۴۴	۲,۲۱	۲,۳۲۳	۲,۱۲	۲,۲۲۰
۳	۲,۵۰۴	۲,۳۰۸	۲,۲۷۹	۲,۲۹	۲,۲۹۲	۲,۲۶۶	۲,۳۰۴	۲,۲۴۷	۲,۲۱۴	۲,۵۰۴	۲,۲۱۴	۲,۳۰۰
۴	۲,۱۵۴	۲,۲۷۶	۲,۲۴۲	۲,۲۲۳	۲,۱۵۶	۲,۲۳۵	۲,۱۹۶	۲,۲۴۷	۲,۰۷۱	۲,۲۷۶	۲,۰۷۱	۲,۲۰۱
ماکریم	۲,۵۰۴	۲,۳۱۵	۲,۲۸۹	۲,۲۹	۲,۳۱۱	۲,۳۳۱	۲,۲۳۲	۲,۳۹۸	۲,۳۵۱	۲,۵۰۴		
مینیم	۲,۱۴۱	۲,۱۹۳	۲,۱۶۵	۱,۷۲۹	۱,۶۶۷	۱,۷۴۱	۲,۱۴۵	۲,۲۱	۲,۰۷۱		۱,۶۶۷	
میانگین	۲,۲۳۸	۲,۲۵۶	۲,۲۳۸	۲,۱۱۱	۲,۱۱۴	۲,۱۲۱	۲,۲۳۴	۲,۲۷۴	۲,۱۹۸			۲,۱۹۸

جدول ۷. متوسط طول دنباله برای کشف صحیح طبقه‌ی انتقال در مرحله‌ی سوم.

$X_1$	-۴	-۳	-۲	-۱	۰	۱	۲	۳	۴	ماکریم	مینیم	میانگین
-۴	۲,۲۱۷	۲,۲۴۴	۲,۱۹۸	۲,۱۴۷	۲,۲۴۶	۲,۲۰۸	۲,۱۶۴	۲,۴۱۳	۲,۱۵	۲,۴۱۳	۲,۱۴۷	۲,۲۲۱
-۳	۲,۲۴۲	۲,۲۹۳	۲,۲۶۹	۲,۲۸۴	۲,۲۷۸	۲,۲۶۴	۲,۲۷۱	۲,۳۶۱	۲,۳۲۸	۲,۳۶۱	۲,۲۴۲	۲,۲۸۸
-۲	۲,۱۵۹	۲,۲۲۳	۲,۳۰۵	۲,۰۸۸	۲,۱۷۳	۲,۲۴	۲,۲۰۹	۲,۲۶	۲,۱۶۴	۲,۲۴	۲,۰۸۸	۲,۲۱۵
-۱	۲,۱۱۴	۲,۲۸	۲,۱۴۳	۱,۷۵۲	۱,۷۷۳	۲,۱۲۷	۲,۲۷۵	۲,۲۷	۲,۲۳	۲,۲۸	۱,۷۵۲	۲,۱۰۷
۰	۲,۲۱۳	۲,۲۷	۲,۱۶۶	۱,۷۹۱		۱,۶۱۲	۲,۱۶۴	۲,۳۰۲	۲,۱۸۲	۲,۳۰۲	۱,۶۱۲	۲,۰۸۸
۱	۲,۲۱۷	۲,۳۰۱	۲,۳۱۸	۲,۱۴۳	۱,۷۹۱	۱,۷۳۹	۲,۲۲۲	۲,۲۹۶	۲,۱۸۲	۲,۳۱۸	۱,۷۳۹	۲,۱۳۴
۲	۲,۰۶	۲,۲۹۸	۲,۲۳۹	۲,۳۱۱	۲,۱۸۹	۲,۱۳۲	۲,۳۸۷	۲,۳۰۱	۲,۱۹۲	۲,۳۸۷	۲,۱۳۲	۲,۲۵۱
۳	۲,۲۵۹	۲,۲۹۱	۲,۲۵۵	۲,۲۲۹	۲,۲۸۵	۲,۲۳۶	۲,۳۰۴	۲,۲۴۱	۲,۲۵۲	۲,۳۰۴	۲,۲۲۹	۲,۲۶۱
۴	۲,۱۹۵	۲,۵۰۴	۲,۳۵۱	۲,۲۳۶	۲,۲۱۷	۲,۱۶۸	۲,۲۲۸	۲,۱۵۴	۲,۲۰۷	۲,۵۰۴	۲,۱۵۴	۲,۲۵۱
ماکریم	۲,۲۵۹	۲,۵۰۴	۲,۳۵۱	۲,۳۱۱	۲,۲۸۵	۲,۳۴	۲,۳۸۷	۲,۴۱۳	۲,۳۲۸	۲,۵۰۴		
مینیم	۲,۱۱۴	۲,۲۳۲	۲,۱۴۳	۱,۷۵۲	۱,۷۷۳	۱,۶۱۲	۲,۱۶۴	۲,۱۵۴	۲,۱۵		۱,۶۱۲	
میانگین	۲,۲۰۲	۲,۳۰۲	۲,۲۴۹	۲,۱۰۹	۲,۱۱۹	۲,۰۹۲	۲,۲۴۷	۲,۲۸۹	۲,۲۱۰			۲,۲۰۲

## پابلوشت

1. Self Organizing Maps (SOM)
2. clustering
3. Cumulative Sum (CUSUM)
4. Multivariate Cumulative Sum (MCUSUM)
5. pipeline
6. Cause-Selecting Chart (CSC)
7. Multiple Cause-Selecting Chart
8. Control Chart Patterns (CCP)
9. Special-purpose CCP recognition
10. error back propagation
11. Average Run length (ARL)
12. learning vector quantization
13. multi-layer feed forward networks
14. Best Matching Unit (BMU)
15. fuzzifier
16. defuzzifier
17. fuzzy knowledge-base
18. output aggregation
19. vector autoregressive moving average
20. white noise
21. auto regressive
22. vector auto regressive
23. sequential control
24. trade-off
25. expert system
26. observed data
27. pi-membership function

## منابع

1. Hotteling, H. Multivariate Quality Control in Techniques of statistical Analysis, edited by Eisenhart, Hastay and Walls, McGraw-Hill, New York, N.Y. (1947).
2. Woodall, W.H. and Ncube, M.M. "Multivariate CUSUM quality control procedures", *Technometrics*, **27**, pp. 285-292 (1985).
3. Lowry, C.A.; Woodall, W.H.; Champ, C.W. and Rigdon, S.E. "A multivariate exponentially weighted moving average control chart", *Technometrics*, **34**, pp. 46-53 (1992).
4. Cenk, Undey and Cinar, A. "Statistical monitoring of multistage, multiphase batch process", *IEEE Control System Magazine*, pp. 40-53 (2002).
5. Davoudi, M. "Designing a multi-stage-quality control system using artificial neural networks" Master of Science thesis, Dept. of Industrial Engineering, Sharif University of Technology, (2006).
6. Zhang, G.X. Cause-Selecting Control Chart and Diagnosis, Theory and Practice, Aarhus School of Business, Department of Total Quality Management, Aarhus, Denmark, (1992).
7. Chang, S.I. and Aw, C.A., "A neural fuzzy control chart for detecting and classifying process mean shifts", *International Journal of Production Research*, **34**, pp. 2265-2278 (1996).
8. Cheng, C.S. "A multi-layer neural network model for detecting changes in the process mean", *Computers & Industrial Engineering*, **28**, pp. 51-61 (1995).
9. Hwarng, H.B. "Proper and effective training of a pattern recognizer for cyclic data", *IIE Transactions*, **27**, pp. 746-756 (1996).
10. Pham, D.T. and Oztemel, E. "Control chart pattern recognition using neural networks", *Journal of Systems Engineering*, **2**, pp. 256-262 (1992).
11. Pham, D.T. and Oztemel, E. "Control chart pattern recognition using learning vector quantization networks", *International Journal of Production Research*, **32**, pp. 721-729 (1994).
12. Hwarng, H.B. and Hubelle, N.F. "X-bar control chart pattern identification through efficient off-line neural network training", *IIE Transactions*, **25**, pp. 27-40 (1993a).
13. Hwarng, H.B. and Hubelle, N.F. "Back-propagation pattern recognizers for X-bar control chart: methodology and performance", *Computers & Industrial Engineering*, **24**, pp. 219-35 (1993b).
14. Guh, R.S. and Tannock, J.D.T. "Recognition of control chart concurrent patterns using a neural network approach", *International Journal of Production Research*, **37**, pp. 1743-1765 (1999).
15. Guh, R.S.; Tannock, J.D.T.; and O'Brien, C. "Intelli-SPC, a hybrid intelligent tool for on-line economical statistical process control", *Expert Systems with Applications*, **17**, pp. 195-212 (1999).
16. Haykin, S. Neural Networks, a comprehensive foundation, Prentice Hall, Englewood Cliffs, N.J., (1998).
17. Kohonen, T. Self- Organizing Maps, Springer series in Information Sciences, 3rd ed., Springer, Berlin, Heidelberg, New York, (2001).
18. Kohonen, T. Automatic formation of topological maps of patterns in a self- organizing system, Oja, E. and Simula, O. (Eds), Proceedings of 2SCIA, Scand. Conference on Image Analysis, Helsinki, Finland, pp. 182-185, (1984).
19. Kohonen, T.; Makisara, K.; and Saramaki, T. "Photonic maps-insightful representation of phonological features for speech recognition", In Proceedings of 7ICPR, International Conference on Pattern Recognition, Los Alamitos, CA. IEEE Computer Soc. Press, pp. 182-185 (1984).
20. Vesanto, J. Data mining techniques based on the Self-Organizing Map, MS Thesis, Helsinki university of Technology, (1997).
21. Vesanto, J. "SOM-based data visualization methods", *Intelligent Data Analysis Journal*, **3**, pp. 111-126 (1999).
22. Simula, O.; Alhoniemi, E.; Hollmen, J.; and Vessanto, J. "Monitoring and modeling of complex processes using hierarchical SOM", *Proceedings of the IEEE Introduction Symposium on Circuits and Systems*, pp. 73-76 (1996).
23. Simula, O.; Vesanto, J.; and Vasara, P. "Analysis of industrial systems using the self- organizing map", *Proceedings of the integration Conference on knowledge- based Intelligent System*, Adelaide, Australia, pp. 61-68 (1998).
24. Trakesh, H. Bijari, M., and Ebranimi, A., "Analysing the time-effect of different input of high-furnace on the quality of grey iron", Technical report, (4086), The Soft- Computing Group, Dept. of Ind. Eng., (2005).
25. Parviainen, J.K., Data mining for Finding in Surface Defects in Strips, BS Thesis, Helsinki university of Technology, (2000).
26. Kiviluoto, K.; Bergius, P. and Maarancen, J. Neural Networks for Analysis of Financial Statements, Singapore, Lisboa, P., Edisbury, B. & Vellido, A. (Eds), Business Applications of Neural Networks, World Scientific, pp. 73-84, (2000).

27. Kohonen, T.; Oja, E.; Simula, O.; Visa, A.; and Kangas, J. "Engineering applications of the self- organizing map", *Proceedings of IEEE*, **84**, pp. 1258-1284 (1996).
28. Kosko, B. *Neural Networks and Fuzzy Systems*, Prentice-Hall, Englewood Cliffs, N.J., (1992).
29. Anderson, T.W. *The statistical analysis of time series*, John Wiley & Sons, INC., New York, (1994).
30. Deler, B. and Nelson, B.L. "Modeling and generating multivariate time series with arbitrary marginals and autocorrelation structures", *Proceedings of the Winter Simulation Conference*, (2001).
31. Russel, S.O., and Campbell, P.F. "Reservoir operating rules with fuzzy programming", *J. Water Resource Plan Management*, **123**, pp. 165-170 (1996).
32. Montgomery, D.C. *Introduction to Statistical Quality Control*, 5th edition, John Wiley and Sons, New York, N.Y., U.S.A., (2005).
33. Wang, T.Y. and Chen, L.H. "Mean shifts detection and classification in multivariate processes: a neural-fuzzy approach", *Journal of Intelligent Manufacturing*, **13**, pp. 211-221 (2002).